

ДЕФОРМИРОВАННОЕ СОСТОЯНИЕ ПЛОТИНЫ И ЕЕ ИЗМЕНЕНИЕ ПРИ СОЗДАНИИ ВОДОХРАНИЛИЩА

К.Д.ИСМАИЛОВА, Б.ЖУМАБАЕВ

E.mail. ksucta@elcat.kg

Плотинанын алгачкы жана өзгөрүлгөн деформациялык абалынын эсебнин тыянағы берилди.

Даны результаты расчета начального и измененного деформированного состояния плотины, которые имеют место до и после образования водохранилища.

Results of dam initial and changed deformed state calculation are given.

Аналитическая модель напряженного состояния плотин состоит из суммы трех полей напряжений /1-3/:

$$\sigma_x^0 = \sigma_x^P + \sigma_x^e, \quad \sigma_y^0 = \sigma_y^P + \sigma_y^e + \sigma_y^s, \quad \tau_{xy}^0 = \tau_{xy}^P + \tau_{xy}^e + \tau_{xy}^s. \quad (1)$$

Напряжения с индексом « P » – поле напряжений для полуплоскости $y \leq 0$, которое возникает при совместном действии гравитационных γ и сейсмических сил $\gamma_c = k_c \gamma$. Сила гравитации γ направлена вертикально вниз, т.е. в глубь массива земной коры, сейсмическая сила направлена из глубины к поверхности Земли и составляет острый угол δ с вертикальной осью Оу.

Интегралы от неоднородных дифференциальных уравнений равновесия для полуплоскости $y \leq 0$ от действия объемных сил (γ, γ_c) имеют вид:

$$\sigma_x^P = A_1 y; \quad \sigma_y^P = A_2 y; \quad \tau_{xy}^P = A_3 y, \quad (2)$$

где $A_1 = \lambda \gamma (1 - k_c \cos \delta)$; $A_2 = \gamma (1 - k_c \cos \delta)$; $A_3 = k_c \cdot \gamma \sin \delta$. Поле напряжений $\sigma_x^P, \sigma_y^P, \tau_{xy}^P$ в (1) характеризуется с помощью двух комплексных потенциалов $\Phi(\zeta)$ и $\Psi(\zeta)$ /2/:

$$\begin{aligned} \bar{\omega}'(\zeta) \Phi(\zeta) + \bar{\omega}(\zeta) \Phi'(\zeta) + \kappa_1 / (\zeta + i)^2 + 2\kappa_2 / (\zeta + i)^3 + 3\kappa_3 / (\zeta + i)^4 + \kappa_4 / (\zeta + t_0 + i)^2 + \omega'(\zeta) \Psi(\zeta) &= A(\zeta); \\ \omega'(\zeta) \Phi(\zeta) - \bar{\kappa}_1 / (\zeta - i)^2 - 2\bar{\kappa}_2 / (\zeta - i)^3 - 3\bar{\kappa}_3 / (\zeta - i)^4 - \bar{\kappa}_4 / (\zeta + t_0 - i)^2 &= B(\zeta). \end{aligned} \quad (3)$$

Здесь $A(\zeta)$ и $B(\zeta)$ зависят только от внешних нагрузок N и T и вычисляются как интегралы типа Коши /3/:

$$A(\zeta) = \frac{1}{2\pi i} \int_{-\infty}^{\infty} \frac{(N+iT)\bar{\omega}'(t)dt}{t-\zeta}, \quad B(\zeta) = \frac{1}{2\pi i} \int_{-\infty}^{\infty} \frac{(N-iT)\omega'(t)dt}{t-\zeta}, \quad (4)$$

где ζ принадлежит нижней полуплоскости переменного $\zeta = \xi + i\eta$. В соотношениях (3)-(4) формы и линейные размеры плотин учитываются оператором типа

$$\omega(\zeta) = \alpha \zeta + \omega_0(\zeta),$$

где

$$\omega_0(\zeta) = \sum_{\kappa=1}^3 \frac{a_\kappa}{(\zeta - i)} + \frac{b_1}{\zeta + t_0 - i}. \quad (5)$$

Решение задачи о начальном напряженном состоянии плотин дано вычислением интегралов типа Коши в (4). Они обозначены как

$$Ap(\zeta) = [T_5 + T_7 \omega'_0(\zeta)] \cdot \omega_0(\zeta) + \\ + T_6 \left(\sum_{\kappa=1}^3 \frac{C_\kappa}{(t-i)^\kappa} + \frac{C_4}{t+t_0-i} \right) - T_7 \left(\sum_{\kappa=1}^4 \frac{S_\kappa}{(t-i)^\kappa} + \frac{S_5}{t+t_0-i} + \frac{S_6}{(t+t_0-i)^2} \right); \quad (6)$$

$$Bp(\zeta) = T_3 \omega_0(\zeta) \omega'_0(\zeta) + T_2 \omega_0(\zeta) + \\ + T_4 \left(\sum_{\kappa=1}^3 \frac{C_\kappa}{(t-i)^\kappa} + \frac{C_4}{t+t_0-i} \right) - T_3 \left(\sum_{\kappa=1}^4 \frac{S_\kappa}{(t-i)^\kappa} + \frac{S_5}{t-t_0-i} + \frac{S_6}{(t+t_0-i)^2} \right).$$

Таким образом, соотношения (3) с правой частью (6) определяют поле напряжений σ_x^p , σ_y^p , τ_{xy}^p . Сумма первых двух полей напряжений в (1) является начальным напряженным состоянием нагорных плотин, и на контурных точках плотины нормальные и касательные компоненты напряжений равны нулю.

Влияние водохранилища ($\sigma_x^e \sigma_y^e, \tau_{xy}^e$) на напряженно-деформированное состояние плотины, когда водохранилище заполнено водой, будут испытывать действие внешней нагрузки (давление воды, рис.1), распределенной согласно закону Паскаля:

$$\begin{aligned} N(t) &= \gamma_b[y(t) - h]; & \text{при } t_2 \leq t \leq t_1 \\ N(t) &= 0; & \text{при } -\infty < t < t_2 \text{ и } t_1 < t \leq \infty \end{aligned} \quad (7)$$

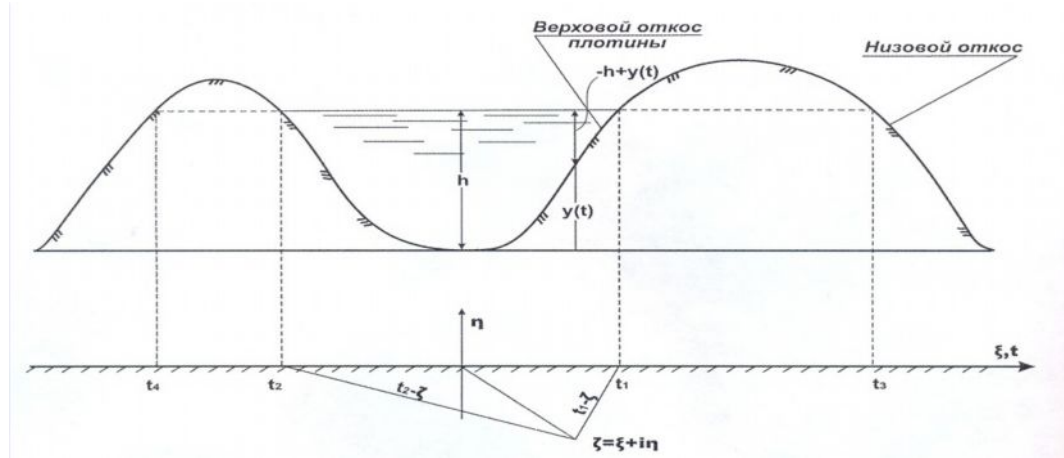


Рис. 1. Расчетная схема водохранилища

Интегралы от граничных условий (7) определены в виде:

$$\begin{aligned} B\sigma(\zeta) &= [R_0 + \sum_{k=1}^7 \frac{R_{1k}}{(\zeta - i)^k} + \sum_{k=1}^3 \frac{R_{2k}}{(\zeta + i)^k} + \sum_{k=1}^3 \frac{R_{3k}}{(\zeta + t_0 - i)^k} + \frac{R_{41}}{\zeta + t_0 + i}] \frac{t_1 - \zeta}{t_2 - \zeta} + \\ &+ \sum_{k=1}^7 \frac{S_{1k}}{(\zeta - i)^k} + \sum_{k=1}^3 \frac{S_{2k}}{(\zeta + i)^k} + \sum_{k=1}^3 \frac{S_{3k}}{(\zeta + t_0 - i)^k} + \frac{S_{41}}{\zeta + t_0 + i} \quad (8) \\ A\sigma(\zeta) &= [r_0 + \sum_{k=1}^7 \frac{r_{1k}}{(\zeta + i)^k} + \sum_{k=1}^3 \frac{r_{2k}}{(\zeta - i)^k} + \sum_{k=1}^3 \frac{r_{3k}}{(\zeta + t_0 - i)^k} - \frac{r_{41}}{(\zeta + t_0 + i)}] \frac{t_1 - \zeta}{t_2 - \zeta} + \\ &+ \sum_{k=1}^7 \frac{c_{1k}}{(\zeta + i)^k} + \sum_{k=1}^3 \frac{c_{2k}}{(\zeta - i)^k} + \sum_{k=1}^3 \frac{c_{3k}}{(\zeta + t_0 - i)^k} - \frac{c_{41}}{(\zeta + t_0 + i)}. \end{aligned}$$

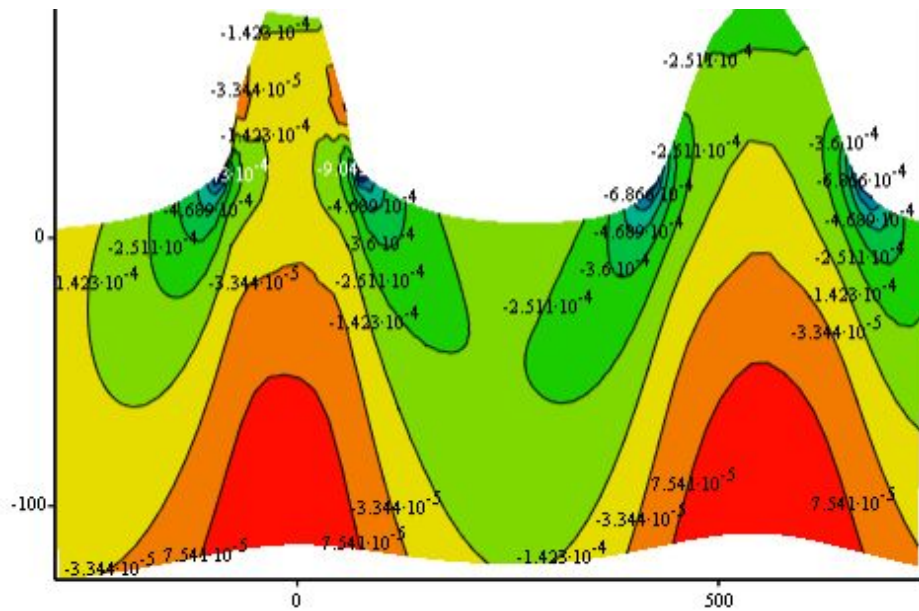


Рис. 2. Относительные горизонтальные деформации от собственного веса плотин

Расчеты деформированного состояния плотины Папанского водохранилища выполнены для случаев, когда плотина деформирована только под действием собственного веса и когда водохранилище заполнено на 80 % по высоте плотины. Результаты распределения изолиний равных значений горизонтальных относительных деформаций представлены на рис. 2, 3. Подобные изолинии равных значений вертикальных относительных деформаций и угловых относительных деформаций представлены на рис. 4-7.

Параметры оператора (5) принятые следующими: $\alpha=0,5$; $a_1=0,9$; $a_2=0,5i$; $a_3=-0,6$; $b_1=1$; $\tau_0=-12$; $\tau_1=11,586$; $\tau_2=0,233$; $h=0,8$; $E=1,5 \cdot 10^5$ МПа; $\mu=0,4$. Графические результаты оформлены в программной среде MATHCAD-15.

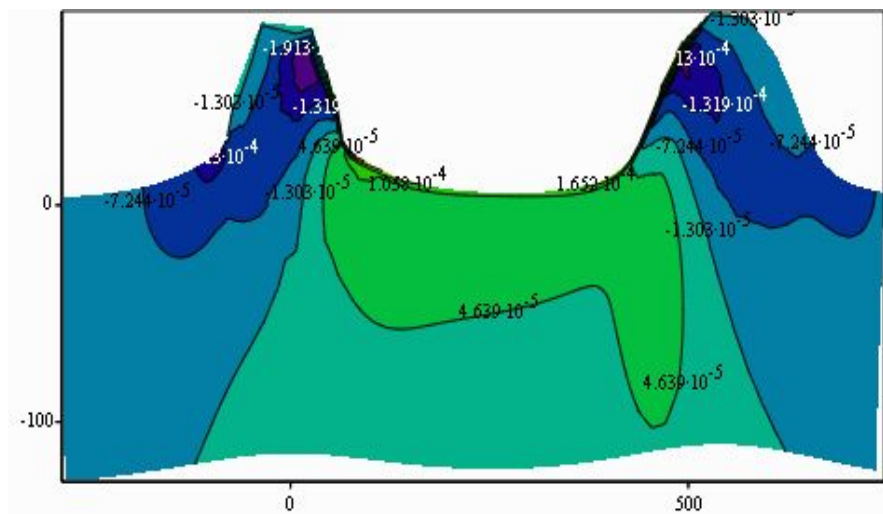


Рис. 3. Относительные горизонтальные деформации отдавления воды заполненного на 80 % водохранилища

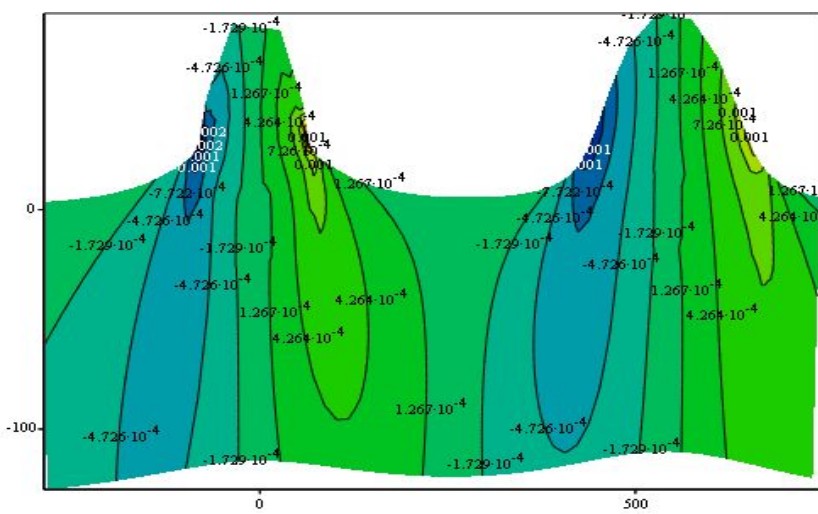


Рис. 4. Относительные вертикальные деформации от собственного веса плотин

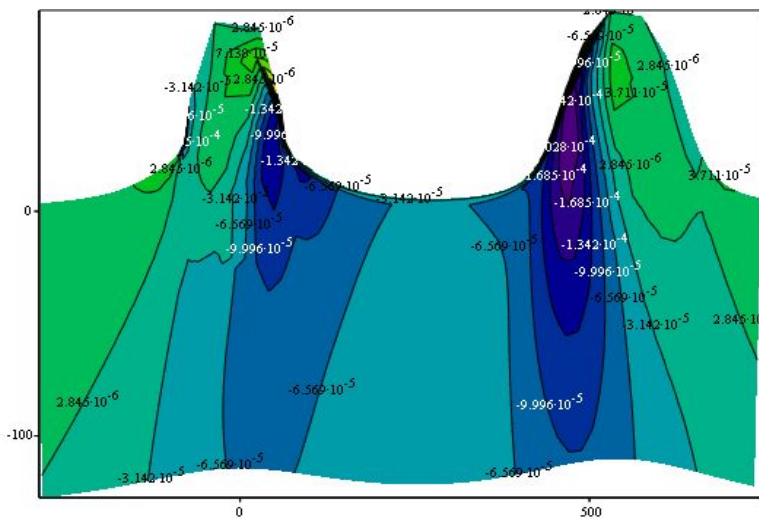


Рис. 5. Относительные вертикальные деформации от давления воды заполненного на 80 % водохранилища

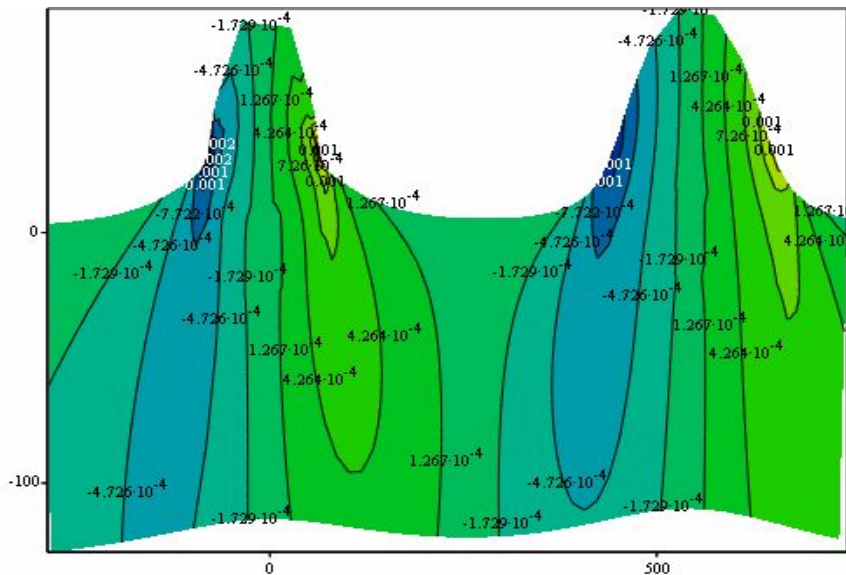


Рис. 6. Относительные угловые деформации от веса плотин

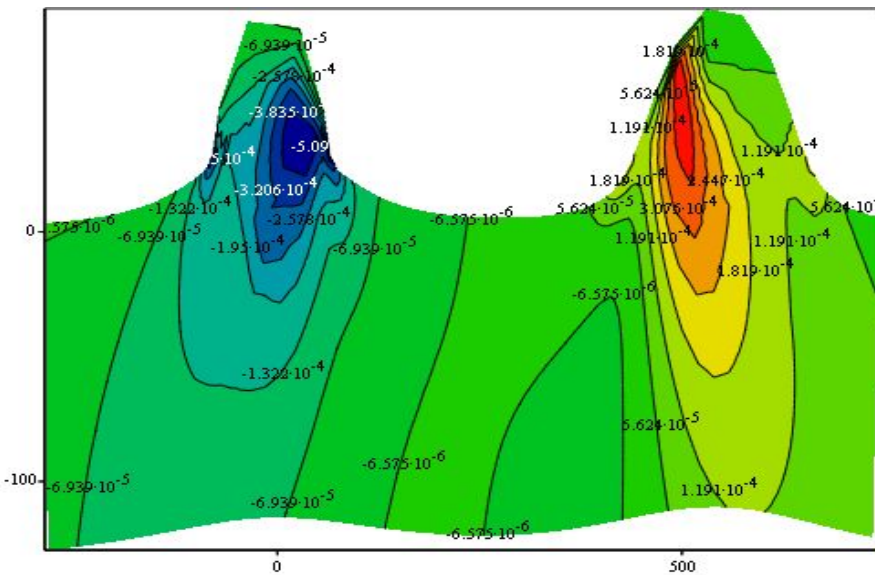


Рис. 7. Относительные угловые деформации от давления воды заполненного на 80 % водохранилища

Список литературы

1. Жумабаев Б., Исмаилова К.Д. Оценка геомеханического состояния плотины водоема // Вестник Кыргызско-Российского Славянского университета. – 2005. – Т 5. – № 3. – С. 88-91.
2. Исмаилова К.Д., Жумабаев Б. Распределение напряжений в теле нагорных плотин в условиях действия сил гравитации // Вестник КАУ. – 2009. – №1(12), – С. 473-478.
3. Жумабаев Б., Исмаилова К.Д. Влияние водохранилища на напряженно-деформированное состояние плотины // Вестник Казахской академии транспорта и коммуникаций им. М. Тынышпаева. – Алма-Ата. –2005. – № 4. – С. 26-33.